## 参芪扶正注射液通过 PTGS2-BMPER 轴改善 A549 细胞顺铂耐药

于 宁1, 王 莹1, 王 淳1, 王晓开2, 薄 威2\*

- 1. 辽宁中医药大学, 辽宁 沈阳 110847
- 2. 沈阳医学院, 辽宁 沈阳 110847

探讨参芪扶正注射液(Shenqi Fuzheng Injection, SFI)通过前列腺素内过氧化物合酶 2 (prostaglandinendoperoxide synthase 2, PTGS2) -BMP 结合内皮调节因子 (BMP binding endothelial regulator, BMPER) 轴改善 A549 细胞 顺铂(cisplatin, DDP)耐药性的机制。方法 使用 DDP 或 SFI 干预 A549/DDP 细胞, 网络药理学预测 SFI 治疗肺腺癌的靶 点,通过 GEPIA2 网站预测其下游靶点,并设置对照组、DDP 组、SFI 组、DDP+SFI 组以及转染质粒组。CCK-8 实验确定 SFI 给药浓度, Edu 实验检测 A549/DDP 细胞增殖情况, Transwell 实验检测 A549/DDP 细胞侵袭情况,流式细胞术检测 A549/DDP 细胞凋亡率, Western blotting 和 qRT-PCR 检测 PTGS2 和 BMPER 的蛋白和 mRNA 表达水平。建立裸鼠移植瘤模 型,给予 DDP 和 SFI 干预,免疫组化法检测肿瘤组织 PTGS2 和 BMPER 的表达。结果 与对照组比较,DDP 或 SFI 干预组 细胞增殖率与侵袭细胞数显著降低(P<0.01),细胞凋亡率显著升高(P<0.01);与 DDP 组比较,DDP 联合 SFI 处理组细 胞增殖率与侵袭细胞数进一步降低 (P<0.01),细胞凋亡率显著升高 (P<0.01)。网络药理学分析得到 PTGS2 为 SFI 治疗肺 腺癌的靶点,且相较于对照组,DDP 或 SFI 处理以及 DDP 联合 SFI 干预组 A549/DDP 细胞 PTGS2 表达均显著降低 (P< 0.05、0.01)。相较于 DDP+SFI+Vector 组,过表达 PTGS2 显著诱导 A549/DDP 细胞增殖与侵袭能力(P<0.05),抑制细胞 凋亡率 (P<0.05), 相反, 敲减 PTGS2 则抑制 A549/DDP 细胞生长 (P<0.01)。相较于 PTGS2-KD+Vector 组, BMPER 过 表达促进 A549/DDP 细胞生长 (P < 0.05、0.01),并诱导细胞耐药性,敲减 BMPER 则发挥相反的作用 (P < 0.05、0.01)。体 内实验结果表明,与模型组比较,DDP治疗或 DDP联合 SFI治疗均显著抑制肿瘤生长( $P < 0.05 \cdot 0.01$ ),相较于 DDP单独 治疗,DDP 联合 SFI 治疗显著抑制移植瘤生长 (P<0.05、0.01)。结论 SFI 通过 PTGS2-BMPER 轴抑制 A549/DDP 细胞 DDP 耐药性。

关键词:参芪扶正注射液;肺腺癌;顺铂耐药;前列腺素内过氧化物合酶 2; BMP 结合内皮调节因子

中图分类号: R285.5 文献标志码: A 文章编号: 0253 - 2670(2025)23 - 8634 - 11

**DOI:** 10.7501/j.issn.0253-2670.2025.23.015

# Shenqi Fuzheng Injection improves cisplatin resistance in A549 cells via PTGS2-BMPER axis

YU Ning<sup>1</sup>, WANG Ying<sup>1</sup>, WANG Chun<sup>1</sup>, WANG Xiaokai<sup>2</sup>, BO Wei<sup>2</sup>

- 1. Liaoning University of Traditional Chinese Medicine, Shenyang 110847, China
- 2. Shenyang Medical College, Shenyang 110847, China

Abstract: Objective To investigate the mechanism by which Shenqi Fuzheng Injection (参芪扶正注射液, SFI) improves cisplatin (DDP) resistance in A549 cells through prostaglandin-endoperoxide synthase 2 (PTGS2)-BMP binding endothelial regulator (BMPER) axis. Methods A549/DDP cells were intervened with DDP and/or SFI. Network pharmacology was used to predict the targets of SFI in treating lung adenocarcinoma, and its downstream targets were predicted via GEPIA2 website. Control group, DDP group, SFI group, DDP + SFI group and transfection plasmid group were set up. The CCK-8 assay was used to determine the SFI concentration, Edu assay was used to detect proliferation of A549/DDP cells, Transwell assay was detected invasion of A549/DDP cells, flow cytometry was used to detect the apoptosis rate of A549/DDP cells, Western blotting and qRT-PCR were used to detect the protein and

**基金项目**: 国家自然科学基金项目 (82174254); 辽宁省教育厅课题 (LJ212410164016); "岐济"科研创新团队打造计划项目 (2023QJ01001); 辽宁省科技计划联合计划 (自然科学基金-博士科研启动项目) (2024-BSLH-295)

收稿日期: 2025-07-07

**作者简介:** 于 宁,博士,研究方向为中医药防治肿瘤。E-mail: 2873184367@qq.com

<sup>\*</sup>通信作者: 薄 威,博士,讲师,研究方向为中药抗肿瘤作用机制。E-mail: 18640421351@163.com

mRNA expression levels of PTGS2 and BMPER. A nude mouse transplant tumor model was established, and intervened with DDP and SFI, the expressions of PTGS2 and BMPER in tumor tissue were detected by immunohistochemistry. **Results** Compared with control group, DDP or SFI intervention groups reduced cell proliferation and invasion (P < 0.01) and elevated apoptosis rate (P < 0.01); Compared with DDP group, DDP + SFI combined treatment further decreased proliferation and invasion (P < 0.01) and markedly increased apoptosis (P < 0.01). Network pharmacology identified PTGS2 as a target of SFI in lung adenocarcinoma, and compared with control group, PTGS2 expressions in A549/DDP cells were significantly decreased after DDP or SFI alone and DDP + SFI combined treatment (P < 0.05, 0.01). Compared with DDP + SFI + Vector group, PTGS2 overexpression markedly promoted proliferation and invasion of A549/DDP cells (P < 0.05) and inhibited cell apoptosis (P < 0.05), whereas PTGS2 knockdown suppressed cell growth (P < 0.01). Compared with PTGS2-KD + Vector group, BMPER overexpression enhanced A549/DDP cells growth (P < 0.05, 0.01) and induced drug resistance, while BMPER knockdown produced the opposite effects (P < 0.05, 0.01). The *in vivo* experimental results showed that compared with model group, DDP treatment or DDP combined with SFI treatment significantly inhibited tumor growth (P < 0.05, 0.01). Compared with DDP alone treatment, DDP combined with SFI treatment significantly inhibited the growth of transplanted tumors (P < 0.05, 0.01). Conclusion SFI inhibits DDP resistance in A549/DDP cells via PTGS2-BMPER axis.

**Key words:** Shenqi Fuzheng Injection; lung adenocarcinoma; cisplatin resistance; prostaglandin-endoperoxide synthase 2; BMP binding endothelial regulator

肺腺癌作为非小细胞肺癌的主要类型,约占肺癌病例总数的 40%,尽管近年来针对化疗、放射疗法以及免疫治疗等多方面进行了显著的临床进步,治疗肺腺癌依然面临着多重挑战。其中,癌细胞产生耐药性被认为是制约治疗成效的关键因素之一[1]。当前,铂类化疗作为肺腺癌临床治疗及术后辅助治疗的核心策略,其疗效和治疗成功率正受到患者个体间日益增长的耐药性挑战,这一现象已明显降低了铂类化疗在肺腺癌治疗领域的临床效能[2]。

参芪扶正注射液(Shenqi Fuzheng Injection, SFI) 是一种基于传统中医药理论配制的药物制剂, 其核心成分为党参和黄芪。依据中医理论,党参具 备益气养精、健脾益肺之功效, 而黄芪则以其补气 固表的作用而著称[3]。临床研究发现, SFI 有显著的 抗癌活性,且SFI在与传统化疗药物联合应用时,能 够明显提升抗肿瘤治疗的效能,实现协同增效[4-6]。前 列腺素内过氧化物合酶 2 (prostaglandinendoperoxide synthase 2, PTGS2) 作为一类在炎症 路径及肿瘤生成发展中扮演核心角色的关键酶,其 功能与调控机制受到广泛研究关注。在广泛的恶性 肿瘤病理进程中, PTGS2 的过度表达与肿瘤细胞的 增殖潜能、侵袭能力、转移倾向以及化疗耐药性的 发展紧密相关[7]。BMP 结合内皮调节因子(BMP binding endothelial regulator,BMPER)是一种细胞 膜相关蛋白,参与调控多种生物学过程,包括细胞 增殖、分化和凋亡[8]。已有研究发现两者与肺腺癌 不良预后相关[9-10],但其在肺腺癌细胞耐药性方面 的作用机制尚不清楚。基于前期研究成果,本研究旨在深入探究 SFI 通过 PTGS2-BMPER 信号通路对肺腺癌 A549 细胞耐药性改善作用的分子调控机制,期望为肺腺癌治疗方案的优化提供一定思路和策略。

#### 1 材料

#### 1.1 动物与细胞

24 只 6 周龄 BALB/c 裸鼠,体质量 18~22 g,购自北京维通利华实验动物技术公司,许可证号 SYXK(京)2022-0052,饲养于辽宁中医药大学实验动物中心。动物实验经辽宁中医药大学伦理委员会批准(批准号21000042022089)。

人非小细胞肺腺癌细胞顺铂(cisplatin,DDP)耐药株 A549/DDP(批号 IMD-008)购自厦门逸漠生物科技有限公司,用含 10%胎牛血清(fetal bovine serum,FBS)、1%青霉素-链霉素的 DMEM 培养基,置于 37%、5% CO<sub>2</sub> 的培养箱内培养。

#### 1.2 药品与试剂

SFI (国药准字 Z19990065, 批号 210516) 购自 广州珠海丽珠制药; DDP (批号 ST1164)、Annexin V-FITC 凋亡检测试剂盒 (批号 C1062L)、BCA 试剂盒 (批号 P0010)、ECL 试剂盒 (批号 P0018S) 购自上海碧云天生物技术有限公司; 胎牛血清 (fetal bovine serum, FBS, 批号 SH30071.03)、胰蛋白酶 (批号 SH30042.02)、青霉素-链霉素 (批号 SV30010) 购自美国 Hyclone 公司; CCK-8 试剂盒 (批号 96992) 购自美国 Sigma-Aldrich 公司; Matrigel 基质胶 (批

号 356234)、TRIzol 试剂(批号 R1100)、RIPA 裂解液(批号 R0010)购自北京索莱宝科技有限公司;EdU 染色试剂盒(红色荧光,批号 40276ES60)购自上海翌圣生物科技公司;PTGS2 抗体(批号ab179800)购自英国 Abcam 公司;Lipofectamine<sup>TM</sup> 3000 试剂盒(批号 L3000150)、BMPER 抗体(批号 PA5-118984)、兔 IgG 二抗(批号 31430)购自美国 Thermo Fisher Scientific 公司;PrimeScript RT 试剂盒(批号 RR047Q)、SYBR® Premix Ex Tap<sup>TM</sup>混合液(批号 RR003Q)购自日本 TaKaRa 公司。

#### 1.3 仪器

AMR-100 型酶标仪(杭州奥盛仪器有限公司); DMi8 型荧光显微镜、HM340E 型切片机(德国 Leica 公司); BX53 型光学显微镜(日本 Olympus 公司); CytoFLEX 型流式细胞仪(美国 Beckman Coulter 公司); LightCycler 480 型 qRT-PCR 仪(美国 Roche 公司)。

#### 2 方法

### 2.1 网络药理学分析

在 TCMSP 数据库(http://tcmspw. com/tcmsp. php)中,以"党参""黄芪"为关键词检索,共获得 221 个化合物(党参 134 个、黄芪 87 个)。按口服生物利用度(oral bioavailability,OB) $\geqslant$ 30%和类药性(drug-likeness,DL) $\geqslant$ 0.18 筛选,得到 41个活性成分。黄芪有 20个活性成分,其中 17个有靶标,共 218 个靶标;党参有 21 个活性成分,其中 17 个有靶标,共 111 个靶标。去重后,得到 264 个 SFI 靶点,并用 Cytoscape 软件构建"药物-成分-靶点-疾病"网络。

从 NCBI(https://www.ncbi.nlm.nih.gov)的 GEO 数据库中选取 GSE19804、GSE40791 和 GSE118370 数据,以校正后 P 值 < 0.05 且|log2 差异倍数(fold change, FC)|>1 为条件筛选肺腺癌差异表达基因,共得 4 082 个。通过 Venn 网站(http://bioinformatics.psb.ugent.be/webtools/Venn/) 对 SFI 靶点与肺腺癌差异表达基因取交集。将交集靶点蛋白输入 String (https://string-db.org/) 构建蛋白质-蛋白质相互作用 (protein-protein interaction, PPI)网络。使用 GEPIA2 (http://gepia2.cancer-pku.cn/#index)预测相关靶点与肺腺癌患者总生存期的关系,同时分析 PTGS2 的共表达基因。

#### 2.2 细胞分组与处理

设置对照组、DDP组、SFI组、DDP+SFI组。

对照组加入不含药物的培养基; DDP 组加入 23.3 μmol/L 的 DDP 处理 24 h<sup>[11]</sup>; SFI 组加入 33.5 g/L 的 SFI 处理 24 h; DDP+SFI 组加入 33.5 g/L 的 SFI 与 23.3 μmol/L 的 DDP 处理 24 h<sup>[12]</sup>。

为进一步验证分子机制,设置 DDP+SFI+Vector组(DDP和 SFI 联合孵育+空载体组)、DDP+SFI+oe-PTGS2组(DDP和 SFI 联合孵育+PTGS2过表达处理组)、PTGS2-NC组(PTGS2 对照组)、PTGS2-KD组(PTGS2敲低组)、PTGS2-KD+Vector组(PTGS2敲低+空载体组)、PTGS2-KD+oe-BMPER组(PTGS2敲低+BMPER过表达组)、PTGS2-KD+BMPER-NC组(PTGS2敲低+BMPER对照组)和PTGS2-KD+BMPER-KD组(PTGS2敲低+BMPER对照组)和PTGS2-KD+BMPER-KD组(PTGS2敲低+BMPER对照组)和PTGS2-KD+BMPER-KD组(PTGS2敲低+BMPER对照组)和PTGS2-KD+BMPER-KD组(PTGS2敲低+BMPER动照组)。所有转染均在SFI与DDP干预的A549/DDP细胞中进行,转染载体由上海吉凯基因设计并合成,转染过程借助Lipofectamine3000试剂并按照试剂盒说明书实施转染。

### 2.3 CCK-8 检测细胞活力

A549/DDP 细胞以  $5\times10^4$  个/mL 接种于 96 孔板中,每孔  $100\,\mu$ L。细胞贴壁后,弃去培养基,加入含不同质量浓度(5、10、20、30、40、 $50\,g$ /L)SFI 和  $23.3\,\mu$ mol/L DPP 的培养基  $100\,\mu$ L。另设置对照组(不含药物)和空白组(不接种细胞不含药物)。培养  $24\,h$  后,加入 CCK-8 试剂,使用酶标仪在  $450\,m$  检测吸光度(A)值,并计算细胞抑制率。

细胞抑制率= $(A_{\text{MM}} - A_{\text{har}})/(A_{\text{MM}} - A_{\text{har}})$ 

#### 2.4 EdU 染色检测细胞增殖

A549/DDP 细胞以 4×10<sup>5</sup> 个/孔接种于 96 孔板中,按 "2.2" 项下方法处理细胞,加入 EdU 工作溶液,孵育 1 h,用 4%中性多聚甲醛固定,然后使用 0.5% Triton X-100 处理 10 min 增强膜通透性。加入 Click-iT 反应混合物避光孵育 30 min,洗涤后染色细胞核,避光孵育 10 min,PBS 洗涤 3 次,于显微镜下观察并拍照,计算细胞增殖率。

细胞增殖率=红色荧光细胞数/蓝色荧光细胞数

#### 2.5 Transwell 检测细胞侵袭

按"2.2"项下方法处理细胞,收集各组细胞,重悬于无血清的 F-12K 培养基中,以2.0×10⁴个/孔接种于涂有 Matrigel 的 Transwell 滤膜上层,下层添加含 10%胎牛血清的完全培养基。于 37 ℃、5% CO₂培养箱中培养 48 h,去除未侵袭细胞,侵袭细胞用 4%多聚甲醛固定 15 min,再进行结晶紫染色 20 min,最后在显微镜下观察和拍照。

#### 2.6 流式细胞术检测细胞凋亡

按"2.2"项下方法处理细胞,收集各组细胞,使用胰酶消化后离心重悬,每组取  $1\times10^5$  个细胞, $1~000\times g$  离心  $5~\min$ ,弃去上清并加入结合液重悬细胞,加入  $5~\mu$ L 的 Annexin V-FITC 和  $10~\mu$ L 的碘化丙啶(PI)染色液,混匀后避光孵育  $10~\min$ ,使用流式细胞仪检测细胞凋亡率。

## 2.7 Western blotting 检测 PTGS2 和 BMPER 蛋白表达

按"2.2"项下方法处理细胞,收集各组细胞,加入 RIPA 裂解液提取蛋白,用 BCA 试剂盒测定蛋白浓度。蛋白样品经 10%十二烷基硫酸钠-聚丙烯酰胺凝胶电泳,转至 PVDF 膜,加入 5%脱脂牛奶,室温封闭 1 h,加入一抗,4 ℃孵育过夜;TBST 清洗 3 次,每次 10 min,再与 HRP 标记的二抗孵育 1 h。TBST 清洗后,在 ECL 溶液中孵育,使用增强化学发光试剂盒检测信号条带,并用 Image J 软件分析条带灰度值。

#### 2.8 qRT-PCR 检测 PTGS2 和 BMPER 基因表达

按 "2.2" 项下方法处理细胞,收集各组细胞,使用 TRIzol 试剂提取总 RNA,溶于 30 μL DEPC 水,测定 RNA 质量后使用 PrimeScript RT 试剂盒在 37 °C下对 RNA 进行逆转录反应。随后,将 1μL cDNA 加入 SYBR® Premix Ex Tap<sup>TM</sup> 混合液中进行 PCR 扩增,扩增条件按照试剂盒说明书实施,以 *GAPDH* 作为内参进行归一化处理,采用 2<sup>-ΔΔCt</sup> 法计算各基因的相对表达水平。引物序列:*GAPDH* 上游引物 5'-CGACCACTTTGTCAAGCTCA-3',下游引物 5'-AGGGGTCTACATGGCAACTG-3';*PTGS2* 上游引物 5'-CAGAAGGGCAGGTATGAGCAGCTTT-3',下游引物 5'-CAAAAGCAAAGCCACGTTTT-3',下游引物 5'-AAAAACACAAAGGCCCAGTG-3'。

#### 2.9 裸鼠移植瘤模型的建立与给药

基于人(70 kg)与小鼠(0.020 kg)之间按体表面积折算的等效剂量比值为 0.002 6,计算出 SFI 在裸鼠给药中的低、高剂量分别为 5.2、10.4 g/kg<sup>[13]</sup>。所有裸鼠经过 2 周的适应性喂养后随机分为模型组、DDP(5 mg/kg)组、DDP+SFI 低剂量(5.2 g/kg)组、DDP+SFI 高剂量(10.4 g/kg)组,每组 6 只。所有裸鼠 sc 100 μLA549/DDP 细胞(2×10<sup>6</sup> 个/mL)以形成肿瘤。注射第 8 天开始给药,模型组 ip 生理盐水,DDP 组 ip DDP,每周 1 次,DDP+SFI 低、

高剂量组 ip SFI,每天 1次,并同时 ip DDP,每周 1次。接种细胞 26 d后,裸鼠 ip 1%戊巴比妥钠(200 mg/kg)实施安乐死,无菌剥取移植瘤并称定质量,计算各组肿瘤体积。

肿瘤体积=长度×宽度2×0.5

## 2.10 免疫组化检测肿瘤组织 PTGS2 和 BMPER 表达

取各组小鼠肿瘤组织,经甲醛固定、梯度乙醇脱水、二甲苯透明、石蜡包埋后切成  $5 \mu m$  薄片,常规脱蜡至水化。用 0.01 mol/L 柠檬酸缓冲液(pH 6.0)进行热诱导抗原修复,切片在暗处用 3%过氧化氢处理 30 min,再用 DAKO 阻断缓冲液室温处理 1 h。滴加一抗, $4 \text{ $\mathbb{C}}$  解育过夜;滴加 HRP 标记二抗, $37 \text{ $\mathbb{C}}$  解育 1 h。DAB 显色,苏木素复染,中性胶封闭,光学显微镜下观察并拍照,用 Image Pro-Plus 软件统计平均 4 值。

#### 2.11 统计学分析

使用 SPSS 26.0 软件进行统计分析,并借助 GraphPad Prism 9.0 软件绘制统计图。两组间比较采用 t 检验,多组间数据比较采用单因素方差分析联合 Tukey 事后检验。

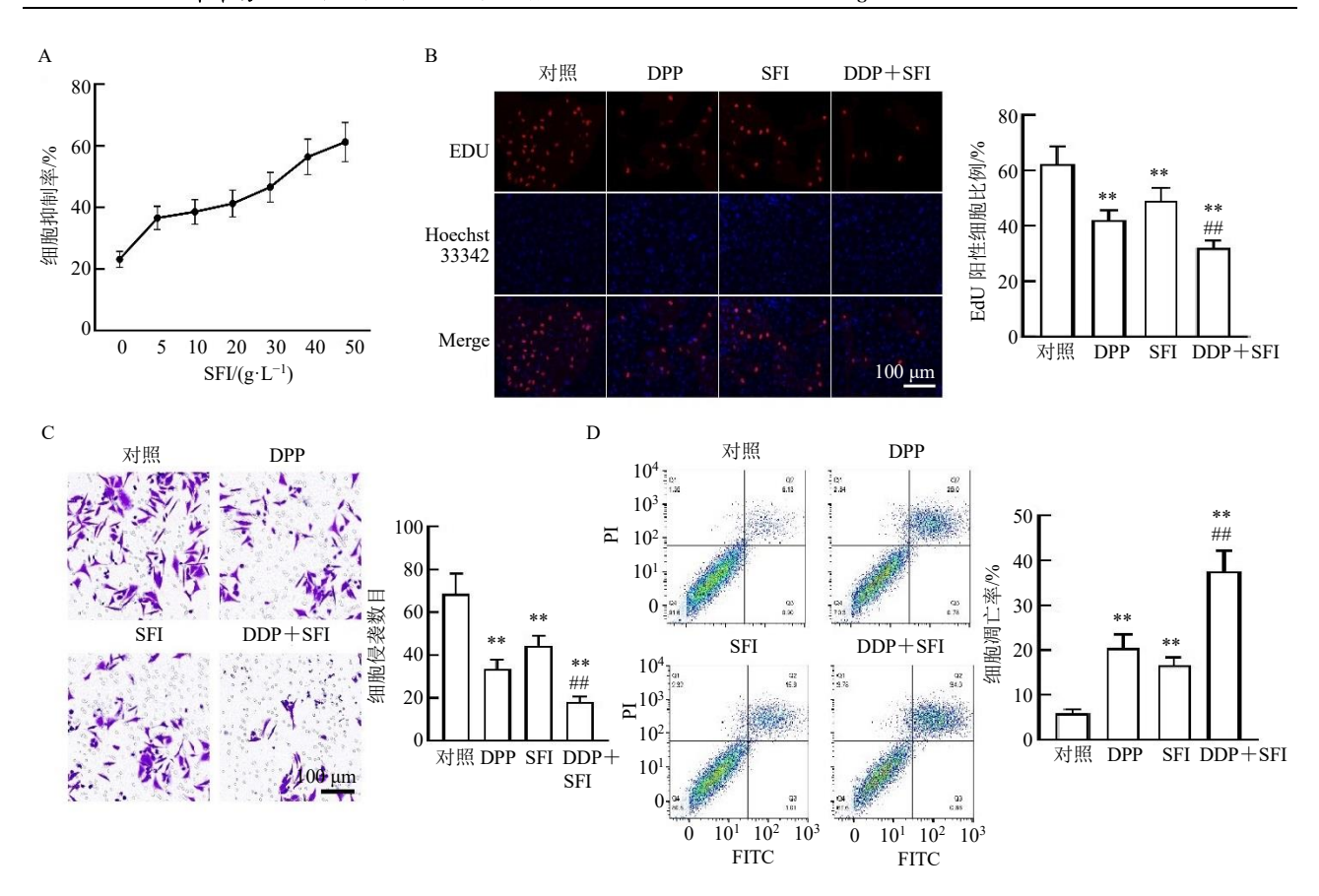
#### 3 结果

## **3.1 SFI** 增强 **DDP** 对 **A549/DDP** 细胞生长的抑制作用

课题组前期研究显示,DDP 对 A549/DDP 细胞的 20%抑制浓度(20% inhibitory concentration,IC<sub>20</sub>)为 23.3  $\mu$ mol/L。本研究采用 23.3  $\mu$ mol/L 的 DDP 联合不同质量浓度的 SFI 对 A549/DDP 细胞进行处理,以确定 SFI 的有效质量浓度。CCK-8 实验结果(图 1-A)显示,随着 SFI 质量浓度的增加,A549/DDP 细胞的抑制率呈剂量相关性升高。计算得出,SFI 联合 DDP 干预 A549/DDP 细胞的 IC<sub>50</sub> 值为 33.5 g/L。因此,在后续实验中,选择 33.5 g/L 的 SFI 进行研究。进一步检测 A549/DDP 细胞增殖、侵袭以及凋亡率(图 1-B~D),结果显示,与对照组比较,各给药组细胞增殖率与侵袭细胞数显著降低(P<0.01),细胞凋亡率显著升高 (P<0.01);与 DDP 组比较,DDP+SFI 组细胞增殖率与侵袭细胞数进一步降低(P<0.01),细胞凋亡率显著升高(P<0.01)。

#### 3.2 SFI 治疗肺腺癌的网络药理学分析

以 SFI 主要成分"党参""黄芪"作为关键词,输入至 TCMSP 平台得到 41 个活性成分,并收集得到 264 个 SFI 的靶点。导入到 Cytoscape 软件构建



A-CCK-8 实验确定 SFI 的给药浓度; B-EdU 实验检测 A549/DDP 细胞的增殖情况 (×200); C-Transwell 实验检测 A549/DDP 细胞的侵袭能力 (×200); D-流式细胞术检测 A549/DDP 细胞的凋亡率。与对照组比较: \*\*P<0.01; 与 DDP 组比较: #\*P<0.01。

A-SFI concentration determined by CCK-8 experiment; B-proliferation of A549/DDP cells detected by Edu assay (× 200); C-invasion of A549/DDP cells detected by Transwell assay (× 200); D-apoptosis rate of A549/DDP cells detected by flow cytometry; \*\* $P < 0.01 \ vs$  control group; \*\* $P < 0.01 \ vs$  DDP group.

### 图 1 SFI 增强 DDP 对 A549/DDP 细胞生长的抑制作用 $(\bar{x} \pm s, n = 3)$

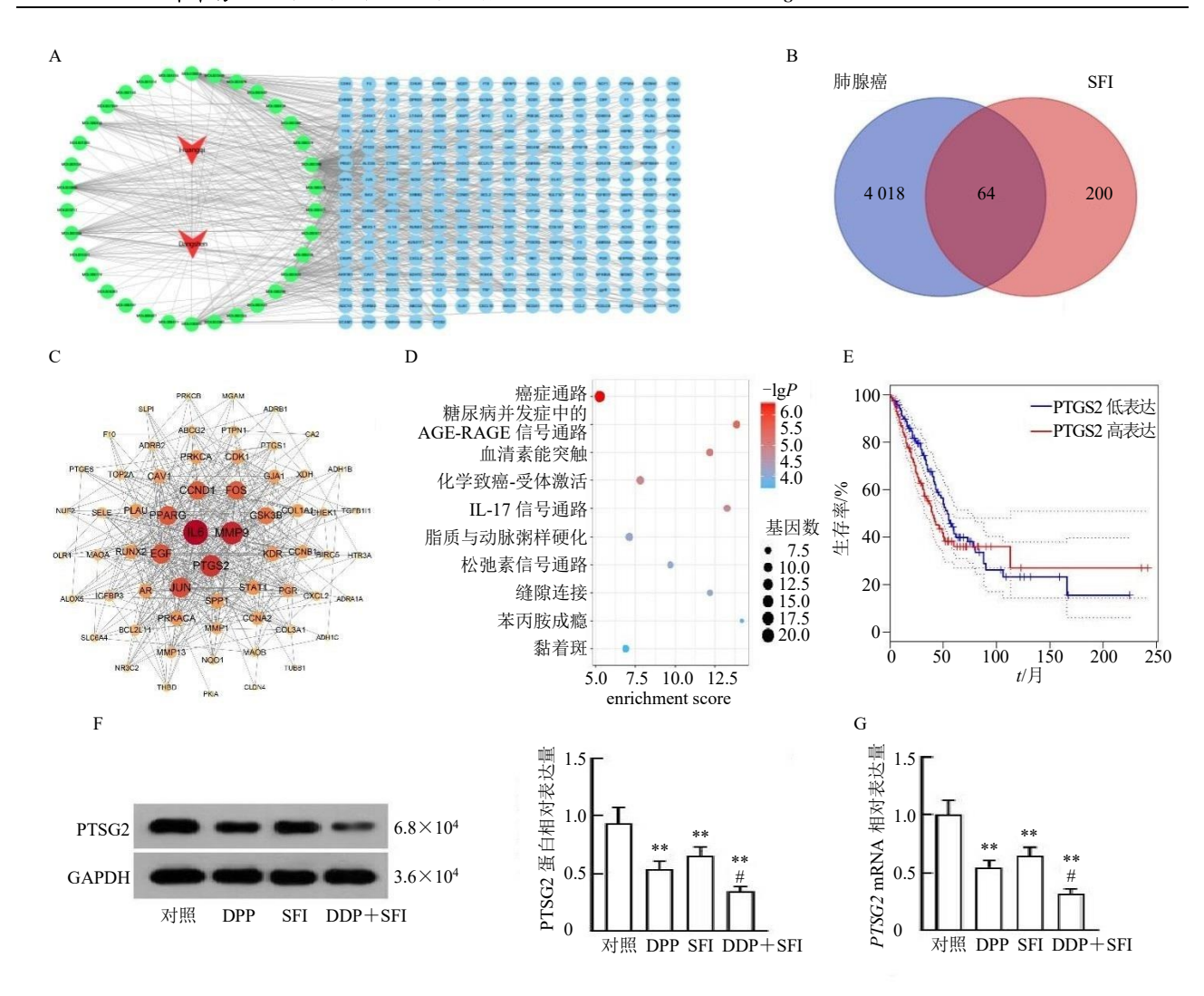
Fig. 1 SFI enhances inhibitory effect of DDP on growth of A549/DDP cells ( $\bar{x} \pm s$ , n = 3)

"药物-成分-靶点-疾病"网络(图 2-A)。选择GSE19804、GSE40791和GSE118370芯片筛选肺腺癌靶点,将SFI治疗肺腺癌的相关靶点取交集,共得到64个交集靶点(图 2-B)。将获取到的交集靶点蛋白输入String构建交集PPI网络(图 2-C),结果显示白细胞介素-6(interleukin-6,IL-6)、金属基质蛋白酶9(matrix metallopeptidase 9,MMP9)、PTGS2和其他靶点联系更紧密。且KEGG富集分析显示(图 2-D),交集靶点富集最显著的通路为癌症通路(含 IL-6、MMP9、PTGS2等)。经GEPIA2验证发现仅 PTGS2 高表达与肺腺癌总生存率较差有关(HR>1,图 2-E),而 IL-6、MMP9未显示出与肺腺癌患者生存有关,因此选择 PTGS2 作为研究靶点。检测 A549/DDP 细胞中 PTGS2 表达水平(图 2-F、G),结果显示,与对照组比较,DDP 或

SFI 干预显著下调 PTGS2 蛋白和 mRNA 表达 (P< 0.01),而 SFI 联合 DDP 干预进一步下调 PTGS2 蛋白和 mRNA 表达 (P<0.05)。

## 3.3 过表达 PTGS2 逆转 SFI 诱导的 A549/DDP 细胞耐药敏感性

在 A549/DDP 细胞中转染 PTGS2 过表达质粒,进一步探究其在 A549/DDP 耐药性的调控作用。细胞转染效率检测结果见图 3-A、B,相较于 DDP+SFI+Vector 组,oe-PTGS2 转染显著上调细胞中PTGS2 蛋白和 mRNA 表达水平(P<0.05、0.01),说明转染成功。功能性实验结果(图 3-C~E)显示,DDP 与 SFI 联合干预显著抑制 A549/DDP 细胞生长(P<0.01);相较于 DDP+SFI+Vector 组,过表达PTGS2 显著诱导 A549/DDP 细胞增殖与侵袭(P<0.05),并抑制细胞凋亡(P<0.05)。



A- "药物-成分-靶点-疾病" 网络, B- SFI 治疗肺腺癌潜在靶点的 Venn 图, C-PPI 网络, D-KEGG 富集分析结果, E-GEPIA 预测 PTGS2 和肺腺癌患者生存关系的结果, F-Western blotting 检测细胞中 PTGS2 蛋白表达水平, G-qRT-PCR 检测细胞中 PTGS2 mRNA 表达水平, 与对照组比较: \*\*P<0.01, 与 DDP 组比较: \*P<0.05。

A-"drug-component-target-disease" network; B-Venn diagram of potential targets of SFI in treatment of lung adenocarcinoma; C-PPI network; D-KEGG enrichment analysis result; E-GEPIA prediction of relationship between PTGS2 and survival of lung adenocarcinoma patients; F-PTGS2 protein expression level in cells detected by Western blotting; G-PTGS2 mRNA expression level in cells detected by qRT-PCR; \*\* $P < 0.01 \ vs$  control group;  $\#P < 0.05 \ vs$  DDP group.

#### 图 2 SFI 治疗肺腺癌的网络药理学分析 $(\bar{x} \pm s, n = 3)$

Fig. 2 Network pharmacology analysis of SFI in treatment of lung adenocarcinoma ( $\bar{x} \pm s$ , n = 3)

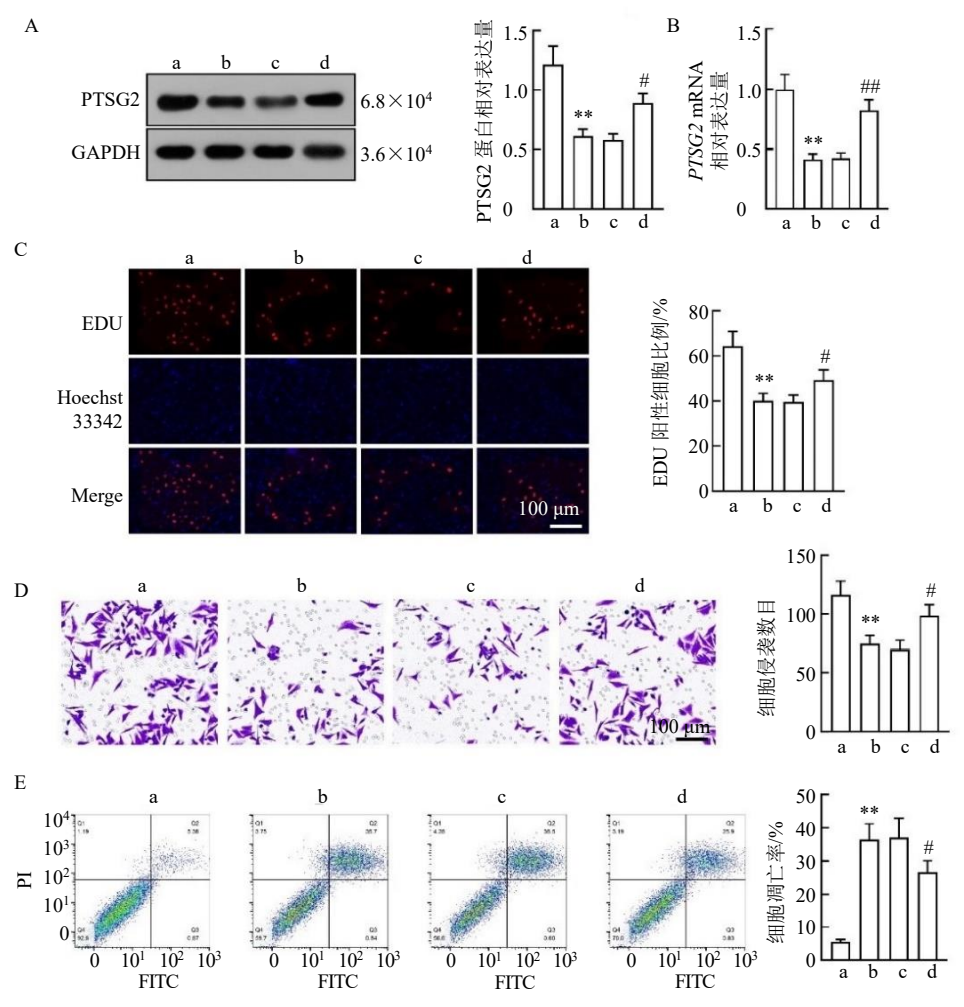
#### 3.4 PTGS2 的潜在下游靶点分析

通过 GEPIA2 的共表达基因分析 PTGS2 的潜在下游靶点,如果一个基因和另一个基因高度共表达,提示二者在转录水平上可能存在一定的关联。分析得到 PTGS2 与 BMPER 的 Pearson 相关系数较高(图 4-A),且研究发现 BMPER 过表达促进肺腺癌细胞增殖与侵袭,因此,选择 BMPER 作为靶点进行分析。检测过表达 PTGS2 后 A549/DDP 细胞中 BMPER 蛋白和 mRNA 表达水平(图 4-B、C),

结果显示,与对照组比较,DDP+SFI组 BMPER 蛋白和 mRNA 表达水平显著降低 (P<0.01);相较于DDP+SFI+Vector组,过表达 PTGS2 显著上调BMPER 蛋白和 mRNA 表达水平 (P<0.01)。

#### 3.5 PTGS2 调控 BMPER 影响 A549/DDP 细胞生长

细胞转染效率检测结果(图 5-A、B)显示,转染 sh-PTGS2 显著下调 A549/DDP 细胞 PTGS2 和BMPER 蛋白和 mRNA 表达水平(*P*<0.01),而转染 oe-BMPER 和 sh-BMPER 对细胞中 PTGS2 水平

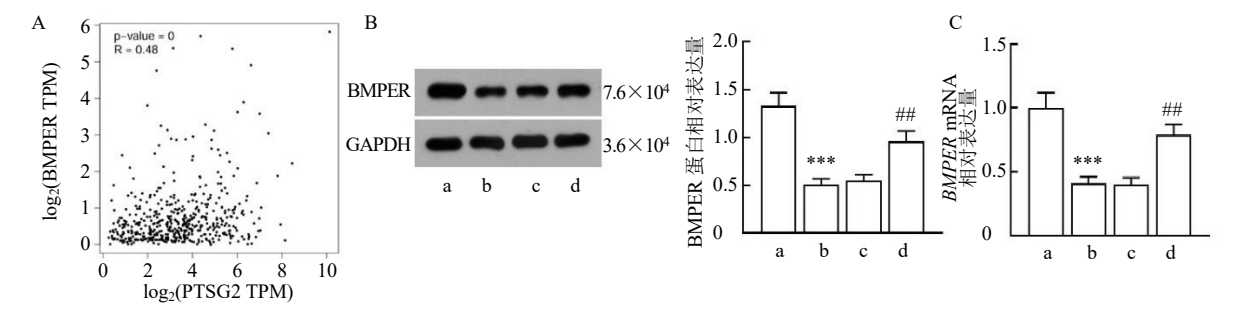


A-PTGS2 蛋白表达水平;B-PTGS2 mRNA 表达水平;C-EdU 实验检测 A549/DDP 细胞的增殖情况( $\times$ 200);D-Transwell 实验检测 A549/DDP 细胞的侵袭能力( $\times$ 200);E-流式细胞术检测 A549/DDP 细胞的凋亡率;a-对照组;b-DDP+SFI 组;c-DDP+SFI+Vector 组;d-DDP+SFI+ oe-PTGS2 组;与对照组比较:\*\*P<0.01 \*\*\*P<0.001;与DDP+SFI+Vector 组比较:\*\*P<0.05 \*\*\*P<0.01;图 4 同。

A-PTGS2 protein expression level; B-PTGS2 mRNA expression level; C-proliferation of A549/DDP cells detected by Edu assay (× 200); D-invasion of A549/DDP cells detected by flow cytometry; a-control group; b-DDP + SFI group; c-DDP + SFI + Vector group; d-DDP + SFI + oe-PTGS2 group; \*\*P < 0.01 \*\*\*P < 0.01 vs control group; #P < 0.01 vs DDP + SFI + Vector group; same as Fig. 4.

#### 图 3 过表达 PTGS2 逆转 SFI 诱导的 A549/DDP 细胞耐药敏感性 $(\bar{x} \pm s, n = 3)$

Fig. 3 Overexpression of PTGS2 reverses resistance sensitivity induced by SFI in A549/DDP cells ( $\bar{x} \pm s$ , n = 3)

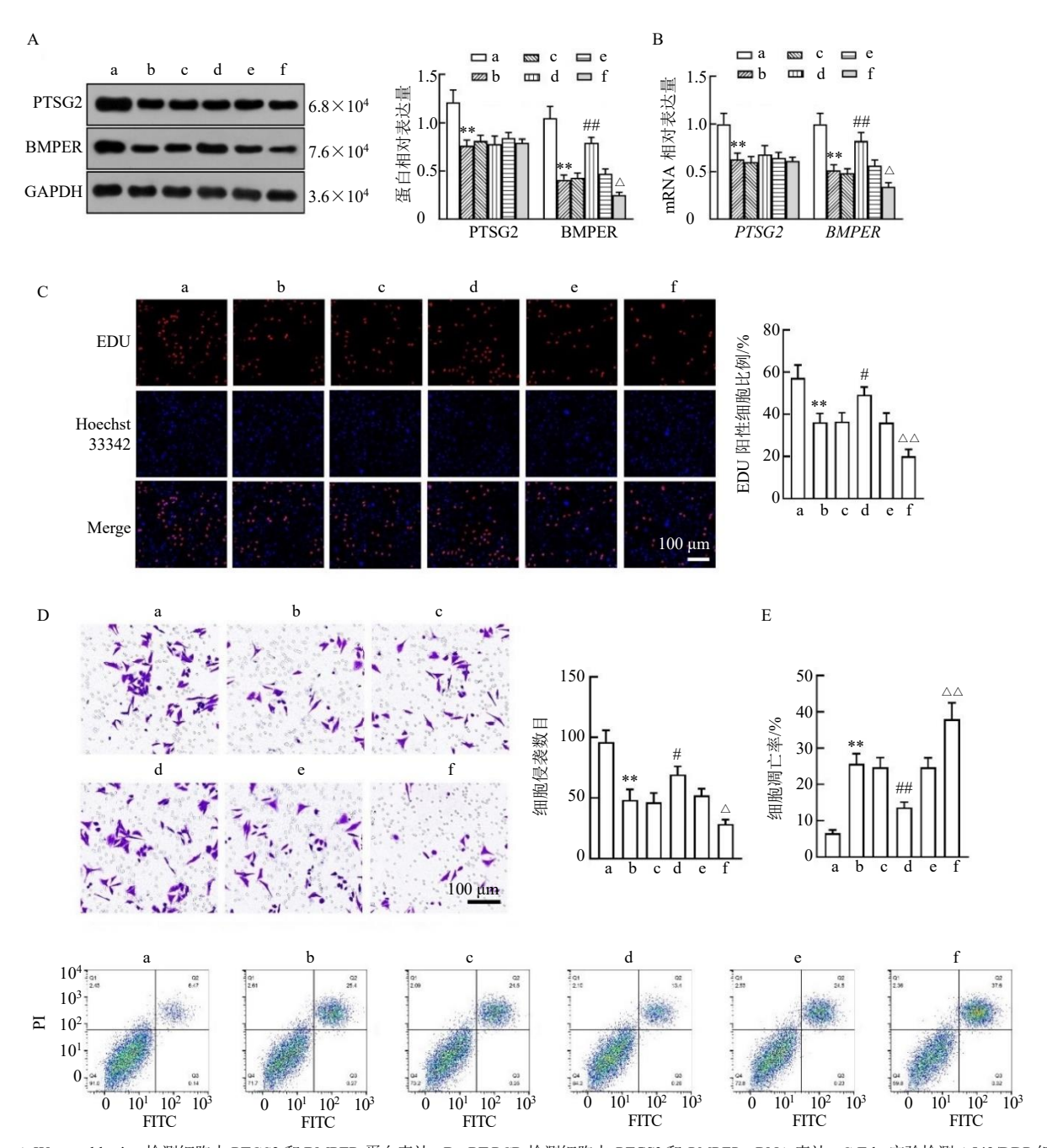


A-PTGS2 与 BMPER 的皮尔逊相关性预测结果; B-Western blotting 检测 A549/DDP 细胞中 BMPER 蛋白表达水平; C-qRT-PCR 检测 A549/DDP 细胞中 BMPER mRNA 表达水平。

A-Pearson prediction result of PTGS2 and BMPER; B-BMPER protein expression level in A549/DDP cells detected by Western blotting; C-BMPER mRNA expression level in A549/DDP cells detected by qRT-PCR.

#### 图 4 PTGS2 下游靶点分析 $(\bar{x} \pm s, n = 3)$

Fig. 4 Downstream target analysis of PTGS2 ( $\bar{x} \pm s$ , n = 3)



A-Western blotting 检测细胞中 PTGS2 和 BMPER 蛋白表达;B-qRT-PCR 检测细胞中 PTGS2 和 BMPER mRNA 表达;C-Edu 实验检测 A549/DDP 细胞增殖(×200);D-Transwell 实验检测 A549/DDP 细胞侵袭(×200);E-流式细胞术检测 A549/DDP 细胞的凋亡率;a-PTGS2-NC 组;b-PTGS2-KD 组;c-PTGS2-KD+Vector 组;d-PTGS2-KD+oe-BMPER 组;e-PTGS2-KD+BMPER-NC 组;f-PTGS2-KD+BMPER-KD 组;与 PTGS2-NC 组比较:\*\*P<0.01;与 PTGS2-KD+BMPER-NC 组比较:P<0.01;与 PTGS2-KD+BMPER-NC 组比较:P<0.01;

A-PTGS2 and BMPER protein expressions in cells detected by Western blotting; B-PTGS2 and BMPER mRNA expressions in cells detected by qRT-PCR; C-proliferation of A549/DDP cells detected by Edu assay (× 200); D-invasion of A549/DDP cells detected by Transwell assay (× 200); E-apoptosis rate of A549/DDP cells detected by flow cytometry; a-PTGS2-NC group; b-PTGS2-KD group; c-PTGS2-KD + Vector group; d-PTGS2-KD + oe-BMPER group; e-PTGS2-KD + BMPER-NC group; f-PTGS2-KD + BMPER-NC group; \*\* $P < 0.01 \ vs$  PTGS2-NC group; \*\* $P < 0.05 \ ^{\triangle}P < 0.01 \ vs$  PTGS2-KD + BMPER-NC group.

#### 图 5 PTGS2-BMPER 轴在 SFI 耐药逆转机制中的作用 $(\bar{x} \pm s, n = 3)$

Fig. 5 Effect of PTGS2-BMPER axis in reversal mechanism of drug resistance in SFI ( $\bar{x} \pm s$ , n = 3)

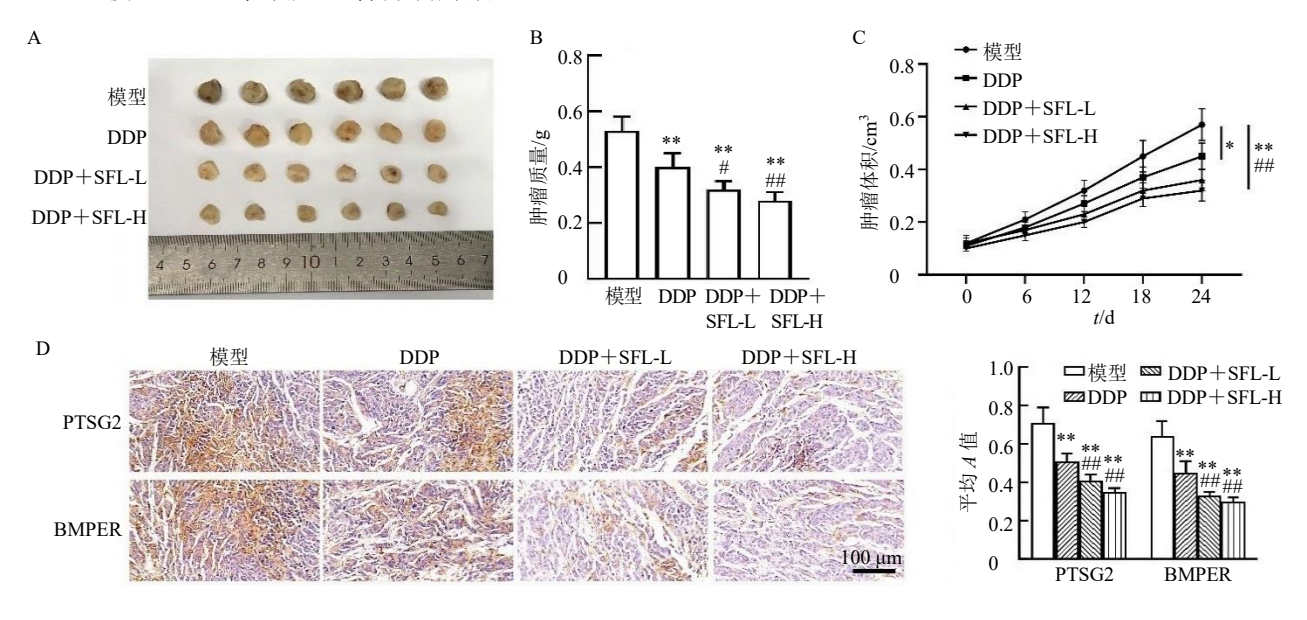
无显著影响,但是会上调或下调 BMPER 蛋白和 mRNA 表达水平,提示 BMPER 能够作为 PTGS2 的

下游。如图 5-C~E 所示,与 PTGS2-NC 组比较, 敲减 PTGS2 显著抑制 A549/DDP 细胞增殖和侵袭 且诱导细胞凋亡 (P<0.01),进一步过表达 BMPER 则促进 A549/DDP 细胞增殖和侵袭且减少细胞凋亡 (P<0.05、0.01), 敲减 BMPER 则抑制 A549/DDP 细胞增殖和侵袭且促进凋亡 (P<0.05、0.01)。

#### 3.6 SFI 联合 DDP 治疗抑制异种移植肿瘤的生长

注射 A549/DDP 细胞建立异种移植裸鼠模型,并给予 DDP 和 SFI 治疗,如图 6-A $\sim$ C 所示,与模型组比较,DDP 干预后显著抑制肿瘤生长(P<

0.05、0.01);相较于 DDP 组,DDP 联合 SFI 治疗进一步抑制肿瘤质量与体积 (P<0.05、0.01),且呈剂量相关性。采用免疫组化法检测移植瘤组织中 PTGS2 和 BMPER 的阳性表达情况,如图 6-D 所示,与模型组比较,DDP 显著抑制 PTGS2 和 BMPER 的阳性表达 (P<0.01);与 DPP 组比较,DDP 联合 SFI 治疗进一步抑制 PTGS2 和 BMPER 的阳性表达 (P<0.01)。



A-肿瘤外观; B-肿瘤质量; C-肿瘤体积; D-免疫组化检测肿瘤组织 PTGS2 和 BMPER 的表达( $\times$ 200); SFI-L-SFI 低剂量组; SFI-H-SFI 高剂量组;与模型组比较: \*P<0.05 \*\*P<0.01;与 DDP 组比较: \*P<0.05 \*\*P<0.05 \*\*P<0.01 \*\*P<0.05 \*\*P

A-tumor appearance; B-tumor weight; C-tumor volume; D-PTGS2 and BMPER expressions in tumor tissue detected by immunohistochemistry ( $\times$  200); SFI-L-SFI low-dose group; SFI-H-SFI high-dose group;  $^*P < 0.05$   $^{**}P < 0.01$  vs model group;  $^#P < 0.01$  vs DDP group.

#### 图 6 SFI 联合 DDP 治疗抑制异种移植肿瘤的生长 $(\bar{x} \pm s, n = 6)$

Fig. 6 SFI combined with DDP treatment inhibits growth of xenograft tumors ( $\bar{x} \pm s$ , n = 6)

#### 4 讨论

以 DDP 为基础的化疗方案一直是治疗晚期非小细胞肺癌的标准疗法,但其临床疗效的实现往往受到多重或继发性耐药性的显著限制[14]。耐药性的生成根植于多维度的肿瘤耐药分子机制,其核心包括但不限于细胞内药物积累水平的降低、细胞凋亡途径的受阻、DNA 损伤修复能力的异常提升、肿瘤微环境的变化以及细胞骨架结构的变异[15-16]。本研究发现,单独应用 DDP 能够显著抑制 A549/DDP 细胞的增殖和侵袭能力,并促进细胞凋亡。当 SFI 与DDP 协同应用时,观察到了对 A549/DDP 细胞更为明显的抑制效应,这揭示了 SFI 可能通过提升细胞对 DDP 的敏感性来增强化疗效果,为临床实践中整合 SFI 与化疗药物应用提供了坚实的理论基础。

为揭示 SFI 的潜在作用机制,本研究实施了网络药理学分析策略。借助 TCMSP 数据库,筛选出了 SFI 及其潜在作用靶点,进而构建了一个全面的"药物-成分-靶点-疾病"交互网络模型。PPI 分析识别 PTGS2 作为 SFI 在肺腺癌病理生理过程中关键作用的核心靶点。PTGS2 作为一类核心的炎症介质及肿瘤促生因子,在多种肿瘤的发生与进展过程中扮演着至关重要的角色,此外,已有文献揭示,PTGS2 通过产生前列腺素 E<sub>2</sub> (prostaglandin E<sub>2</sub>, PGE<sub>2</sub>) 促进肺癌免疫逃逸和耐药性,因此,靶向 PTGS2/PGE<sub>2</sub> 通路可增强免疫治疗效果[7,17-18]。

本研究结果显示, SFI 显著降低了 A549/DDP 细胞内 PTGS2 的蛋白和 mRNA 表达水平。当 SFI 与 DDP 联合应用时,能够进一步下调 PTGS2 的表

达水平。过表达 PTGS2 能够显著诱导 A549/DDP 细 胞的增殖和侵袭能力,抑制细胞凋亡。而敲减 PTGS2 则产生相反的效果,表明 PTGS2 在肺腺癌 耐药性的形成中确实发挥着重要作用。此外,本研 究通过生物信息学分析发现 BMPER 和 PTGS2 高 度共表达, 提示二者可能在转录水平存在一定的关 联。以往有研究发现 BMPER 在乳腺癌中高度表达 并影响侵袭性细胞行为[19]。本研究结果显示, SFI 联 合 DDP 干预能够显著降低 A549/DDP 细胞中 BMPER 的表达,而过表达 PTGS2 则显著上调 BMPER 的表达。沉默 PTGS2、过表达或敲减 BMPER 的实验进一步验证了 BMPER 在促进肺腺 癌细胞耐药性方面的作用,并揭示了 PTGS2-BMPER 轴在 SFI 耐药逆转机制中的重要作用(图 7)。在体内实验中,建立了 A549/DDP 异种移植裸 鼠模型,并观察了 SFI 联合 DDP 治疗对肿瘤生长 的影响。结果显示,相较于 DDP 单独治疗, DDP 联 合 SFI 治疗能够显著抑制移植瘤的生长,这进一步 证实了 SFI 在改善肺腺癌细胞 DDP 耐药性方面的 有效性。

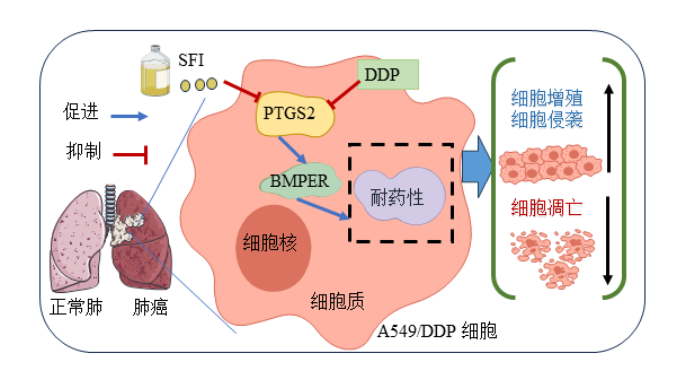


图 7 SFI 通过 PTGS2-BMPER 轴改善 A549 细胞耐药性 的分子机制

Fig. 7 Molecular mechanism of SFI on improving drug resistance in A549 cells through PTGS2-BMPER axis

综上,本研究揭示了 SFI 通过 PTGS2-BMPER 轴改善 A549 细胞耐药的分子机制。SFI 能够显著增强 DDP 对 A549/DDP 细胞的抑制作用,并降低耐药相关蛋白的表达。PTGS2 作为 SFI 的关键作用靶点,在耐药逆转机制中发挥着重要作用,而BMPER 水平受 PTGS2 的调控,也参与了细胞的增殖与侵袭过程。本研究为 SFI 在耐药肺腺癌治疗中的应用提供了理论基础和实验依据,有望为耐药肺腺癌患者提供新的治疗策略。

### **利益冲突** 所有作者均声明不存在利益冲突 参考文献

- [1] 刘思健, 瞿理, 张玲, 等. m<sup>6</sup>A RNA 修饰在非小细胞肺癌治疗耐药中作用及机制的研究进展 [J]. 现代肿瘤医学, 2024, 32(8): 1531-1537.
- [2] Kryczka J, Kryczka J, Czarnecka-Chrebelska K H, et al. Molecular mechanisms of chemoresistance induced by cisplatin in NSCLC cancer therapy [J]. Int J Mol Sci, 2021, 22(16): 8885.
- [3] 鲍卓,何映月.参芪扶正注射液联合化疗对老年晚期 非小细胞肺癌患者外周血 T 淋巴细胞亚群和肿瘤标志 物的影响 [J]. 中国老年学杂志, 2019, 39(10): 2359-2361.
- [4] 李玮, 杨永丽, 胡佳佳, 等. 参芪扶正注射液联合含铂 双药化疗治疗晚期非小细胞肺癌的疗效评价 [J]. 中国医院药学杂志, 2022, 42(3): 299-303.
- [5] 陆芳芳, 郝传铮, 沈晓笑. 参芪扶正注射液联合信迪利 单抗对中晚期胃癌患者的临床疗效 [J]. 中成药, 2025, 47(3): 1049-1052.
- [6] Xu J, Li X, Dong Q, et al. Shenqi Fuzheng Injection combined with chemotherapy for gastric cancer: An overview of systematic reviews and meta-analyses [J]. *Integr Cancer Ther*, 2023, 22: 15347354231210811.
- [7] Boumelha J, de Castro A, Bah N, *et al.* CRISPR-Cas9 screening identifies KRAS-induced COX2 as a driver of immunotherapy resistance in lung cancer [J]. *Cancer Res*, 2024, 84(14): 2231-2246.
- [8] Shan L N, Tang X F, Liu Y, *et al.* Targeting BMPER as a therapeutic strategy for pulmonary arterial hypertension [J]. *Cell Signal*, 2025, 133: 111880.
- [9] Lin Y X, Sun N, Liu D Y, et al. COX-2/PTGS2-targeted herbal-derived oligonucleotide drug HQi-sRNA-2 was effective in spontaneous mouse lung cancer model [J]. IUBMB Life, 2024, 76(11): 937-950.
- [10] Huang W Z, Xu X, Liu M Y, et al. Downregulation of Hsa\_circ\_0000735 inhibits the proliferation, migration, invasion, and glycolysis in non-small-cell lung cancer by targeting miR-940/BMPER axis [J]. Onco Targets Ther, 2020, 13: 8427-8439.
- [11] Sun Y, Chen Y S, Xu M, et al. Shenmai Injection supresses glycolysis and enhances cisplatin cytotoxicity in cisplatin-resistant A549/DDP cells via the AKT-mTOR-c-myc signaling pathway [J]. Biomed Res Int, 2020, 2020: 9243681.
- [12] 刘兵, 文晓晨, 冯秀芝, 等. 基于角蛋白 19 调控的上皮-间质转化与耐药探讨参芪扶正注射液对肺腺癌

- A549/DDP 细胞增殖、侵袭、迁移的影响 [J]. 中华中 医药学刊, 2025, 43(9): 169-173.
- [13] 刘兵, 刘文俊, 孙冶, 等. 参芪扶正注射液对肺腺癌 A549/DDP 细胞荷瘤裸鼠移植瘤 KRT19/β-catenin 信号 通路的影响 [J]. 中华中医药学刊, 2024, 42(11): 140-144.
- [14] 唐夏莉, 陈君, 焦德敏, 等. miRNA-126 通过抑制自噬 逆转肺癌 A549/DDP 细胞顺铂耐药的作用研究 [J]. 中国病理生理杂志, 2024, 40(8): 1378-1383.
- [15] Wang J, Liu Q Q, Zhao Y X, *et al*. Tumor cells transmit drug resistance via cisplatin-induced extracellular vesicles [J]. *Int J Mol Sci*, 2023, 24(15): 12347.
- [16] 刘泽铭, 孙小强. 细胞微环境介导肿瘤耐药性的动力

- 学建模研究进展 [J]. 中山大学学报: 自然科学版中英文, 2024, 63(6): 236-253.
- [17] Yen H, Yen H, Drucker A M, *et al.* COX-2 inhibitors show no preventive effect in the development of skin cancer [J]. *J Dtsch Dermatol Ges*, 2022, 20(2): 157-166.
- [18] Rodrigues P, Bangali H, Hammoud A, *et al.* COX 2-inhibitors; a thorough and updated survey into combinational therapies in cancers [J]. *Med Oncol*, 2024, 41(1): 41.
- [19] Coutant A, Cockenpot V, Muller L, *et al.* Spatial transcriptomics reveal pitfalls and opportunities for the detection of rare high-plasticity breast cancer subtypes [J]. *Lab Invest*, 2023, 103(12): 100258.

[责任编辑 李亚楠]